

УДК 532.5.032

Колебания физического маятника с полостью эллиптической формы, заполненной вязкой жидкостью

А.Ю. Боталов^{1,2}

¹*Тюменский филиал Института теоретической и прикладной механики им. С.А. Христиановича СО РАН*

²*Тюменский государственный университет*

E-mail: aybotalov@bk.ru

В работе численно исследованы плоские колебания эллиптического сосуда, полностью заполненного вязкой несжимаемой жидкостью. Определено характерное время затухания колебаний в зависимости от значений параметров системы, найдены значения параметров, при которых это время минимально. Представлены картины течения жидкости в полости.

Ключевые слова: полость с жидкостью, плоские колебания.

Введение

Анализ движения систем, имеющих в своем составе полости, содержащие жидкость, является важным как с практической точки зрения при его применении в исследовании динамики летательных аппаратов, имеющих на борту запас жидкого топлива, так и с теоретической, для лучшего понимания механизмов взаимодействия жидкого наполнителя с подвижными структурами.

Одним из первых подобными задачами занимался Н.Е. Жуковский [1], в своей работе он рассматривал движение тела с полостью, целиком заполненной идеальной жидкостью. Подробно влияние вязкости жидкости на движение тела исследовалось в работах [2, 3], были получены асимптотические решения линейной задачи движения тела с полостью, полностью заполненной вязкой жидкостью. Для решения задачи в нелинейной постановке требуется решить нелинейную систему уравнений, что возможно при помощи численных методов. В работах [4, 5] авторы приводят результаты численного моделирования задачи о движении сосуда цилиндрической формы, полностью заполненного жидкостью и имеющего вставки в виде радиальных ребер. Работа [6] была посвящена моделированию свободных колебаний под действием силы тяжести сосуда квадратной формы, полностью заполненного вязкой жидкостью.

В настоящей работе представлены результаты численного решения задачи движения физического маятника с полостью в форме эллипса, полностью заполненной вязкой несжимаемой жидкостью. Найдены зависимость угла отклонения маятника от времени и характерное время затухания колебаний, получены поля скорости жидкости.

Постановка задачи

Рассматриваются плоские колебания сосуда в форме эллипса с малой (a) и большой (b) полуосями, происходящие под действием силы тяжести. В сосуде содержится вязкая несжимаемая жидкость. Масса сосуда считается пренебрежимо малой. Введем неподвижную систему координат с осью η , взятой в направлении, противоположном вектору силы тяжести, с осью ζ , перпендикулярной плоскости колебаний, и осью ξ , дополняющей систему координат до правой тройки. Введем также подвижную систему координат, связанную с телом, как показано на рис. 1, причем ось z направлена по оси ζ . Для описания плоского движения данной системы будут использоваться двумерные уравнения Навье–Стокса, записанные в неинерциальной системе отсчета, уравнение неразрывности и закон сохранения момента импульса. В безразмерной форме эти уравнения примут вид:

$$\frac{\partial U}{\partial X} + \frac{\partial V}{\partial Y} = 0, \tag{1}$$

$$\frac{\partial U}{\partial \tau} + U \frac{\partial U}{\partial X} + V \frac{\partial U}{\partial Y} = -\frac{\partial P}{\partial X} + \frac{1}{\text{Re}_\Omega} \Delta U + 2V\dot{\varphi} + X\dot{\varphi}^2 + Y\ddot{\varphi}, \tag{2}$$

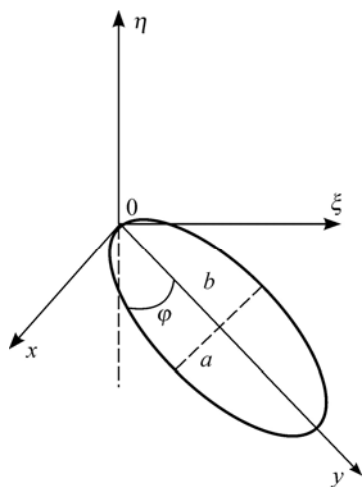
$$\frac{\partial V}{\partial \tau} + U \frac{\partial V}{\partial X} + V \frac{\partial V}{\partial Y} = -\frac{\partial P}{\partial Y} + \frac{1}{\text{Re}_\Omega} \Delta V - 2U\dot{\varphi} + Y\dot{\varphi}^2 - X\ddot{\varphi}, \tag{3}$$

$$\ddot{\varphi} + A_\Omega \sin \varphi = -A_\eta \frac{d}{d\tau} \iint_s (XV - YU) ds, \tag{4}$$

где $A_\Omega = 64\pi^2 / (3[5 + (a/b)^2])$, $A_\eta = 4 / (\pi(a/b)[5 + (a/b)^2])$, $\text{Re}_\Omega = \Omega b^2 / (2\pi\nu)$.

Формулы обезразмеривания имеют вид:

$$\tau = t \frac{\Omega}{2\pi}, \quad U = u \frac{2\pi}{b\Omega}, \quad V = v \frac{2\pi}{b\Omega}, \quad P = \frac{4\pi^2 p'}{\rho\Omega^2 b^2}, \quad X = \frac{x}{b}, \quad Y = \frac{y}{b}, \quad \Omega = \sqrt{\frac{3\sqrt{2}g}{4b}},$$



здесь t — время, u, v — скорости соответственно в направлении x и y , $\varphi(t)$ — угол отклонения, ρ — плотность, g — ускорение свободного падения, Ω — частота малых колебаний в предположении, что $u = v = 0$, давление есть отклонение от гидростатического давления: $\nabla p' = \nabla p + \rho g$.

Начальные условия в безразмерном виде:

$$\varphi|_{\tau=0} = \varphi_0, \quad \dot{\varphi}|_{\tau=0} = 0, \quad U|_{\tau=0} = V|_{\tau=0} = 0.$$

Граничные условия в безразмерном виде:

$$U|_\Gamma = V|_\Gamma = 0.$$

Рис. 1. Исследуемая область.

Численная схема и параметры расчета

Решение системы (1)–(3) находилось методом контрольного объема применительно к модифицированному алгоритму SIMPLER [7, 8], реализованного на структурированной криволинейной расчетной сетке [9]. Число контрольных объемов, на которые разбивалась расчетная область, изменялось от 25×100 до 300×300 в зависимости от значений Re_Ω и отношения малой полуоси к большой (a/b). Для решения уравнения (4) использовался BDF метод (Backward Differentiation Formula) второго порядка точности [10]. Расчеты проводились для параметра Re_Ω , изменяющегося в диапазоне $7 \leq Re_\Omega \leq 5700$, параметра a/b , изменяющегося в диапазоне $0,25 \leq a/b \leq 1$, и начального угла отклонения $\varphi_0 = \pi/2$. Достоверность полученных результатов подтверждается сравнением численного решения с асимптотическим решением линейной задачи, полученным в работе [3].

Анализ полученных результатов

Прежде чем переходить к анализу результатов, приведем сравнение полученного численного решения с асимптотическим решением линейной задачи. В работе [3] получено интегродифференциальное уравнение, описывающее движение тела с полостью, полностью заполненной слабо вязкой жидкостью, при малой амплитуде движения. В случае колебания эллиптического сосуда уравнение будет иметь вид:

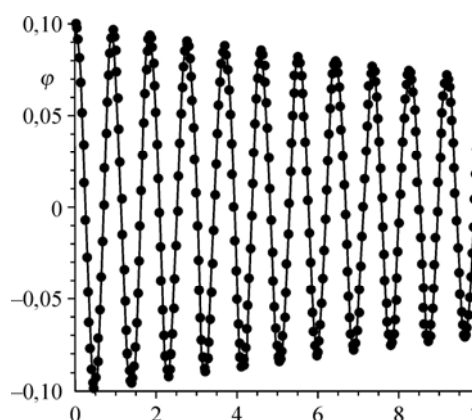
$$\ddot{\varphi} + \frac{16}{3\alpha} \pi^2 \sin \varphi = - \frac{4}{\alpha \pi^{0,5} \sqrt{Re_\Omega}} \cdot \frac{a/b}{1+(a/b)^2} \cdot \frac{d}{dt} \int_0^1 \frac{\dot{\varphi} d\tau}{\sqrt{t-\tau}}, \quad (5)$$

где
$$\alpha = 1 + 1/4 \left(\frac{(1-(a/b)^2)^2}{(1+(a/b)^2)} \right).$$

На рис. 2. изображена зависимость угла отклонения маятника от времени. Из рисунка видно, что полученное численное решение хорошо совпадает с асимптотическим по параметру Re_Ω решением линейной задачи.

Остановимся на картинах возникающего течения при колебании маятника. На рис. 3 изображены изолинии функции тока в различные моменты времени, причем отрицательное значение функции тока соответствуют движению жидкости по часовой стрелке, положительное — против. По мере движения маятника в областях, симметрично смещенных в сторону движения маятника относительно линии $x = 0$, зарождаются вихри, которые вращаются в сторону, противоположную вращению центрального вихря. Эти вторичные вихри с течением времени растут, захватывают все большую область течения, и по мере их движения направление вращения жидкости меняется на противоположное. Спустя некоторое время вторичные вихри сливаются в один, при этом вся жидкость вращается в одну сторону — в сторону вращения вторичных вихрей.

Рис. 2. Зависимость угла отклонения маятника от времени при $\varphi_0 = 0,1$, $Re_\Omega = 1140$ и $a/b = 0,5$. Символы — численное решение, линия — асимптотическое решение.



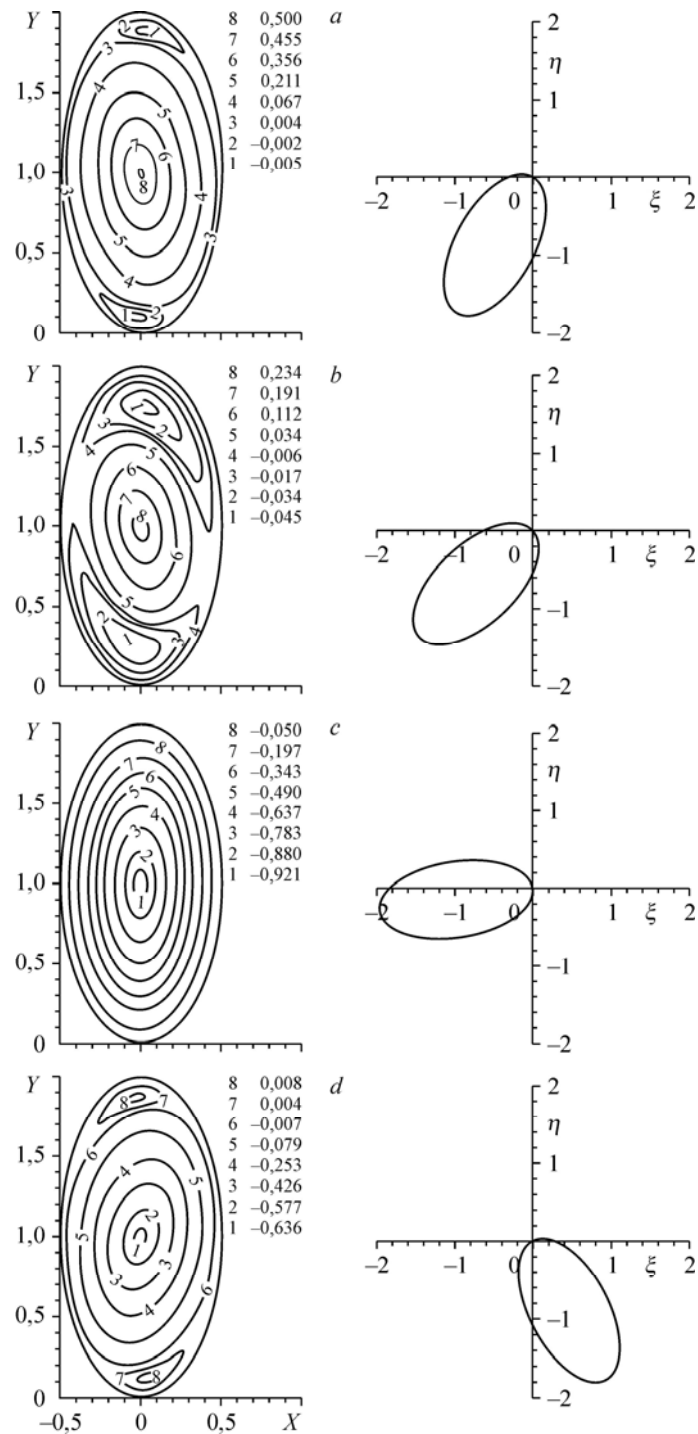


Рис. 3. Изолинии функции тока при $\varphi_0 = \pi/2$, $Re_\Omega = 10$ и $a/b = 0,5$.
 $\tau = 0,34$ (a), $0,38$ (b), $0,6$ (c) $0,9$ (d).

Далее процесс периодически повторяется. Смена направления вращения жидкости каждые полпериода сопровождается возникновением вторичных вихревых структур. При $a/b = 1$ (случай полости в форме кругового цилиндра) вторичные вихревые течения отсутствуют. Из этого факта следует, что смена направления вращения жидкости в полости,

совершающей вращательные колебания, сопровождается вихревым течением только при отклонении формы полости от цилиндрической.

Как показано в работе [6], наличие жидкой массы в колеблющемся маятнике приводит к изменению периода и амплитуды колебаний по сравнению со случаем абсолютно твердого тела. Диссипативные силы, возникающие в движущейся жидкости, приводят к уменьшению амплитуды колебания сосуда, причем время затухания зависит как от значения Re_{Ω} , так и от величины начального отклонения (φ_0) и отношения малой полуоси к большой (a/b). Не приводя расчетов, можно сделать выводы о качественном поведении зависимости характерного времени затухания колебаний от параметров задачи. Так, зависимость характерного времени затухания от Re_{Ω} является немонотонной. Это следует из рассмотрения предельных случаев большого и малого значений Re_{Ω} . При большом значении параметра Re_{Ω} получаем приближение идеальной жидкости, диссипация очень мала и колебания затухают медленно. При малом Re_{Ω} — приближение твердого тела, диссипация также очень мала. Следовательно, где-то между этими предельными случаями есть значение Re_{Ω} , при котором диссипация будет максимальной, а характерное время затухания минимальным. При увеличении значения параметра a/b от 0 до 1 скорость диссипации энергии растет, а характерное время затухания уменьшается вследствие увеличения массы жидкости, вовлекаемой в движение при колебании эллиптической полости.

На рис. 4 показан график зависимости характерного времени затухания колебаний от значения Re_{Ω} . Пусть характерное время затухания определено как время, за которое амплитуда колебаний уменьшается в тысячу раз. Из рисунка видна немонотонность данной зависимости. В результате расчетов найдены значения параметра Re_{Ω} , при которых время затухания минимально для случаев $\varphi_0 = \pi/2$ и $a/b = 0,25, 0,5, 0,75$: при $a/b = 0,25$ — $Re_{\Omega} = 37$, при $a/b = 0,5$ — $Re_{\Omega} = 10$ и при $a/b = 0,75$ — $Re_{\Omega} = 5$; время затухания равно $\tau = 129,4, 37,46, 21,05$ соответственно. Из этих данных видно, что увеличение отношения малой и большой полуосей (a/b) приводит к уменьшению Re_{Ω} , при котором время затухания минимально, и к уменьшению времени затухания.

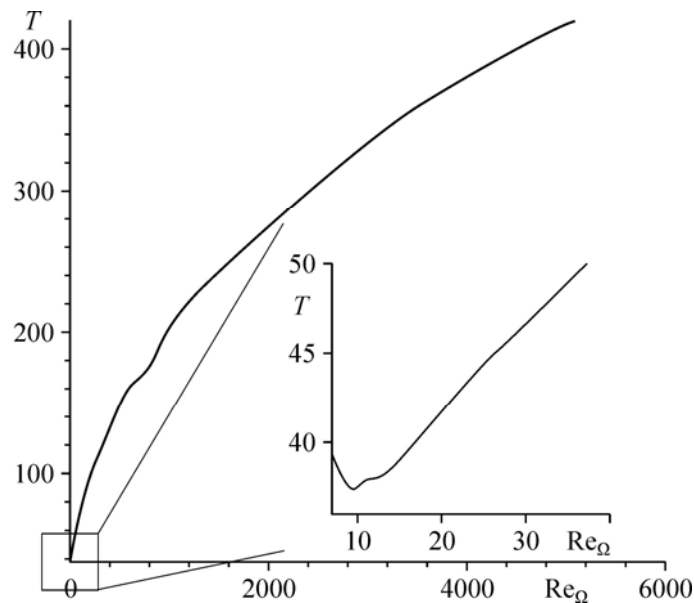


Рис. 4. Зависимость характерного времени затухания от параметра Re_{Ω} при $\varphi_0 = \pi/2$ и $a/b = 0,5$.

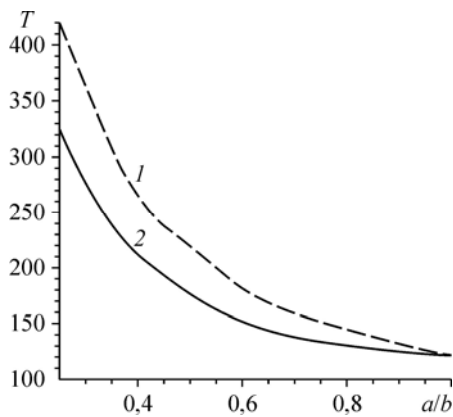


Рис. 5. Зависимость характерного времени затухания от параметра a/b при $\varphi_0 = \pi/2$ и $Re_\Omega = 1140$.

Численное (1), асимптотическое (2) решения.

На рис. 5 показан график зависимости характерного времени затухания от отношения малой полуоси к большой при $Re_\Omega = 1140$. Также изображена зависимость времени затухания колебаний от a/b , полученная путем решения линейного интегродифференциального уравнения (5). Из рисунка видно, что по мере уменьшения величины a/b растет разница между численным и асимптотическим решением. Это связано с тем, что при уменьшении a/b течение жидкости становится все более нелинейным, интенсивность вторичных вихревых течений растет. При $a/b \rightarrow 1$ интенсивность вторичных вихрей падает до нуля, и численное решение становится очень близким к асимптотическому.

Заключение

В результате расчетов была найдена численная зависимость угла отклонения маятника с эллиптической полостью, полностью заполненной вязкой жидкостью, от времени при различных значениях параметров Re_Ω и a/b . Найдено характерное время затухания колебаний для различных значений Re_Ω и a/b , и так как это время является немонотонной функцией параметра Re_Ω , были найдены значения Re_Ω , при которых оно минимально: $Re_\Omega = 37$ при $a/b = 0,25$, $Re_\Omega = 10$ при $a/b = 0,5$ и $Re_\Omega = 5$ при $a/b = 0,75$; характерное время затухания $\tau = 129,4$, $37,46$, $21,05$ соответственно. Также найдены поля течения жидкости в полости и продемонстрирован эффект генерации и диффузии вихрей в полости формы, отличной от цилиндрической.

Список литературы

1. Жуковский Н.Е. О движении твердого тела, имеющего полости, наполненные однородною капельною жидкостью. Избранные сочинения. Т. 1. М.-Л.: Гостехиздат, 1948. С. 31–152.
2. Черноусько Ф.Л. Движение твердого тела с полостями, заполненными вязкой жидкостью, при малых числах Рейнольдса // Журн. вычисл. математики и мат. физики. 1965. Т. 5, № 6. С. 1049–1070.
3. Черноусько Ф.Л. Движение тела с полостью, заполненной вязкой жидкостью, при больших числах Рейнольдса // Прикл. математика и механика. 1966. Т. 30, № 3. С. 476–494.
4. Богоряд И.Б., Лаврова Н.П. Численное моделирование вращения твердого тела с заполненной жидкостью полостью, имеющей радиальные ребра // Прикл. механика и техническая физика. 2007. Т. 48, № 2. С. 135–139.
5. Богоряд И.Б., Лаврова Н.П. Численная модель течения жидкости во вращающемся цилиндре с упругими радиально расположенными ребрами // Прикл. механика и техническая физика. 2013. Т. 54, № 2. С. 59–64.
6. Боталов А.Ю., Зубков П.Т. Колебания маятника с полостью, полностью заполненной вязкой несжимаемой жидкостью // Тепловые процессы в технике. 2012. Т. 4, № 10. С. 449–454.
7. Патанкар С. Численные методы решения задач теплообмена и динамики жидкости: пер. с англ. М.: Энергоатомиздат, 1984. 152 с.
8. Губайдуллин А.А., Зубков П.Т., Свиридов Е.М. Термоакустические волны, возникающие при нагреве совершенного вязкого газа // Теплофизика высоких температур. 2004. Т. 42, № 5. С. 753–759.
9. Кудинов П.И. Численное моделирование гидродинамики и теплообмена в задачах с конвективной неустойчивостью и неединственным решением: дис. ... канд. физ.-мат. наук: 01.02.05. Днепропетровск, 1999. 229 с.
10. Хайрер Э., Нёрсетт С., Ваннер Г. Решение обыкновенных дифференциальных уравнений. Нежесткие задачи: пер. с англ. М.: Мир, 1990. 512 с.

Статья поступила в редакцию 18 июня 2014 г.